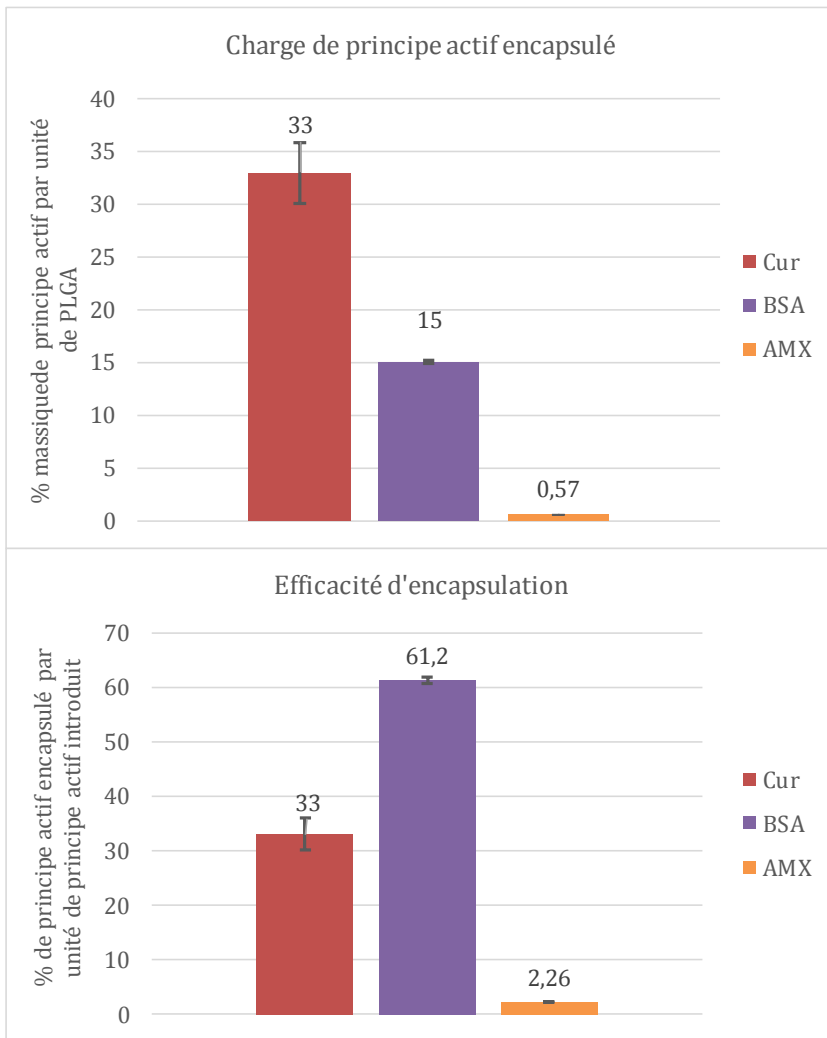
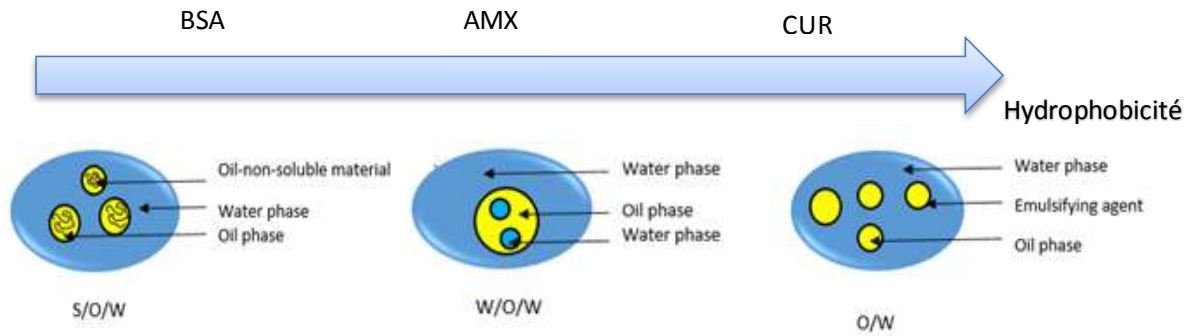


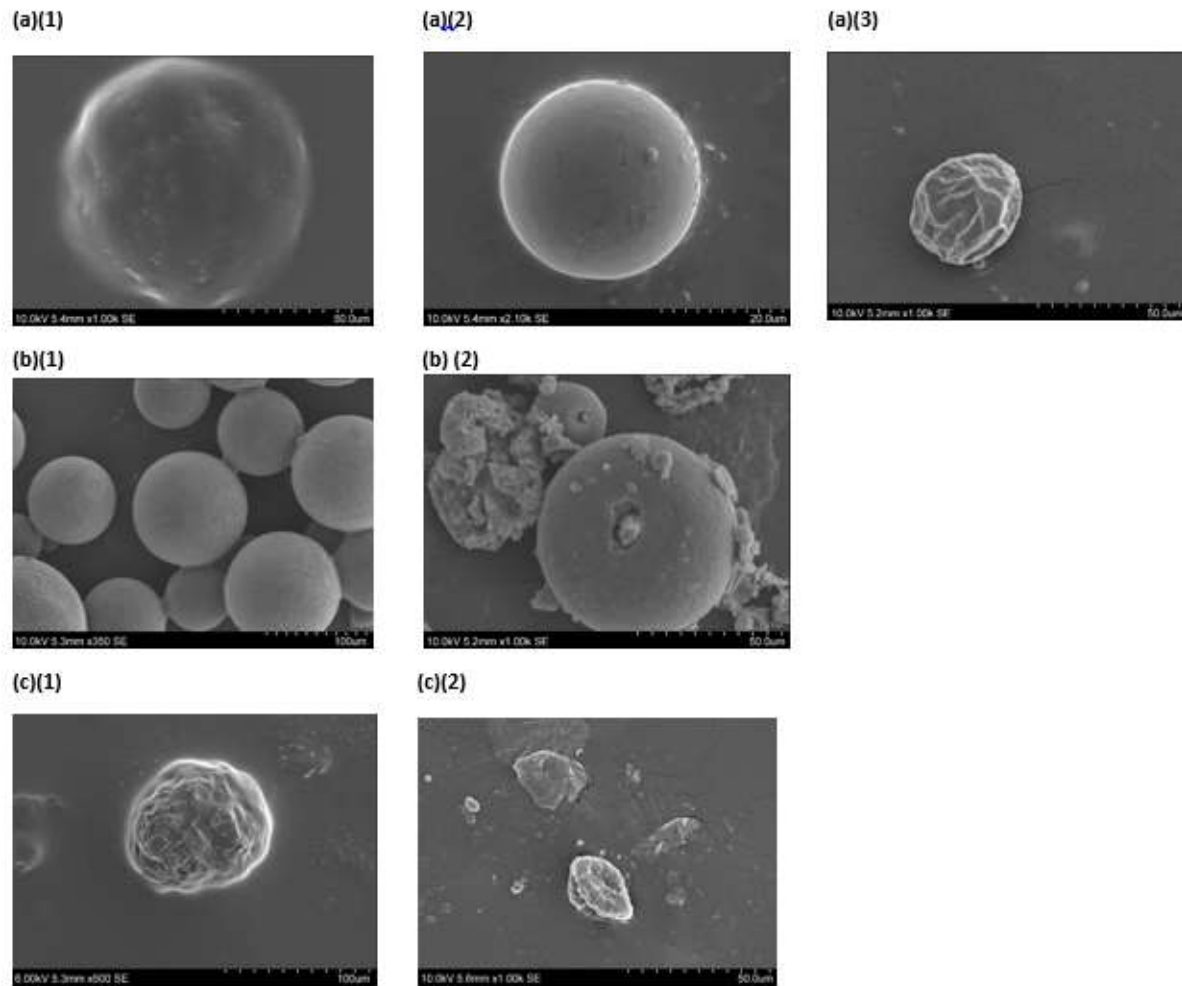
Figures

(a)



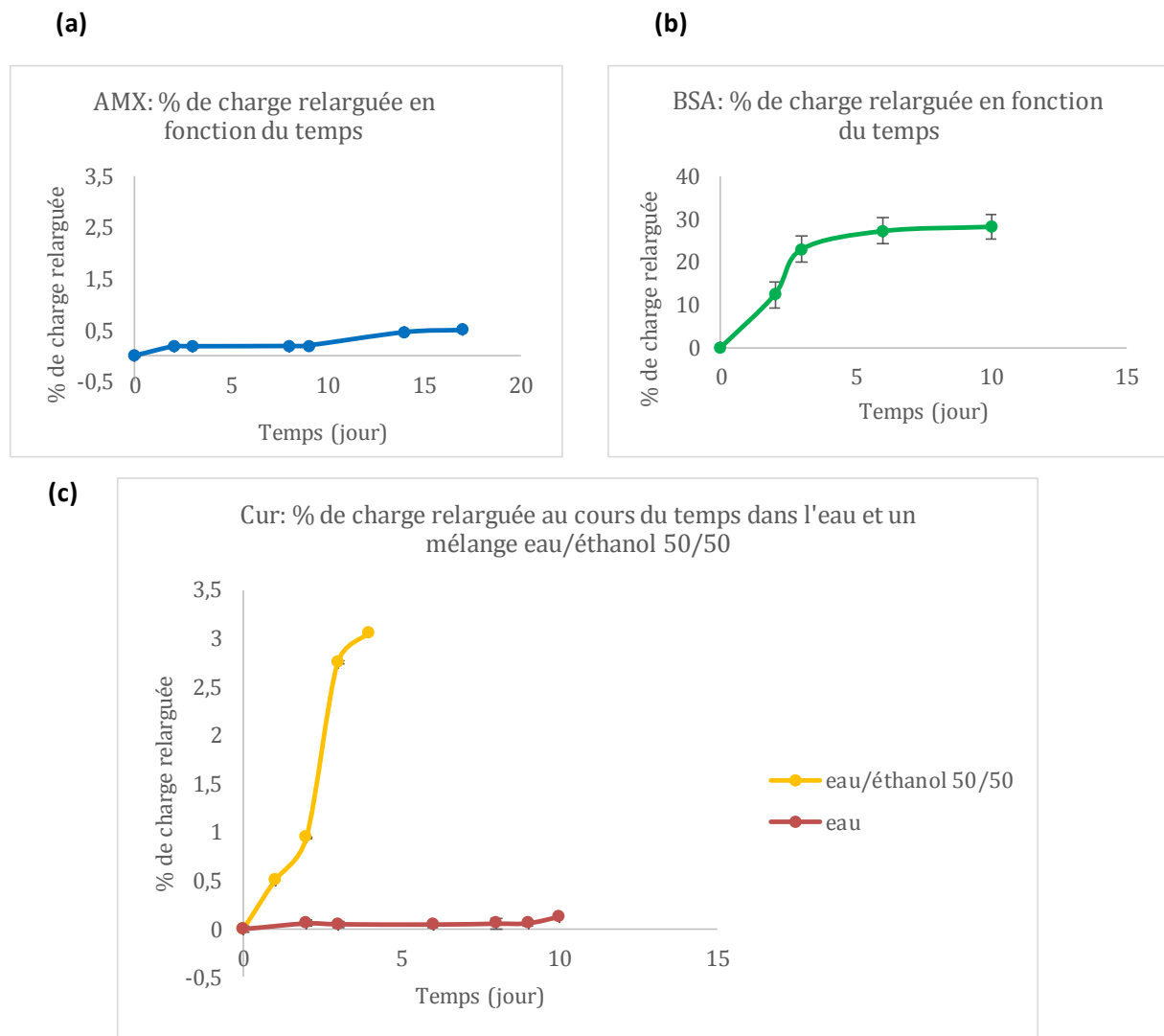
**Figure 1. (a) Stratégies d'encapsulation des principes actifs (curcumine CUR, sérum albumine BSA et amoxicilline AMX) selon leur hydrophobicité; (b) Histogramme de la charge de principe actif encapsulé par mg de polymère pour la curcumine, la sérum albumine et l'amoxicilline; (c) Histogramme du rendement d'encapsulation : fraction massique du principe actif encapsulé avec succès par rapport à la quantité de principe actif introduit lors de la réaction d'encapsulation.**

## Figures



**Figure 2.** Images des particules au Microscope Électronique à Balayage **(a)(1)** Particules contenant la BSA; **(a)(2)** Particules témoin de BSA; **(a)(3)** Particules contenant la BSA après release; **(b)(1)** Particules contenant l'amoxicilline; **(b)(2)** Particules contenant l'amoxicilline après release; **(c)(1)** Particules contenant la curcumine; **(c)(2)** Particules contenant la curcumine après release.

## Figures



**Figure 3.** Cinétique : Courbes représentant la délivrance des principes actifs en % de charge relarguée au cours du temps : (a) amoxicilline dans l'eau, (b) bovine serum albumine dans l'eau, (c) curcumine dans l'eau et un mélange 50/50 en volume d'eau et d'éthanol